

РАСЧЕТ ЭЛЕКТРОСОПРОТИВЛЕНИЯ УГОЛЬНОГО СТЕРЖНЯ ПОД ДАВЛЕНИЕМ В ДВУХФАЗНОЙ МОДЕЛИ

Постановка проблемы и цель статьи. Структура ископаемого угля является объектом многочисленных научных исследований [1]. Практическая значимость этих работ обусловлена необходимостью прогнозирования поведения как угольных массивов, так и физико-химических свойств отдельных образцов угольных материалов. Особый интерес представляют электрофизические свойства углей, прежде всего их сопротивление постоянному току. Очевидно из теоретических соображений и известно из практики, что электросопротивление угля зависит прежде всего от структуры углеродной составляющей угля. Известно, что алмаз является классическим диэлектриком, а графит – довольно хорошим и сильно анизотропным проводником электрического тока. Помимо углеродной составляющей – ароматики угля – в его структуре весьма заметную часть занимает алифатика – «бахрома», состоящая преимущественно из углеводородных радикалов CH_3- , $\text{CH}_2=$, кислород- и серосодержащих соединений и т.п. Удельное электросопротивление алифатики весьма велико, порядка $10^5 \text{ Ом}\cdot\text{м}$.

Таким образом, уголь состоит в основном из двух фаз – ароматики и алифатики, сильно различающихся по своему удельному электросопротивлению.

Для расчета сопротивления макроскопического образца из угля и влияния давления на эту характеристику мы предлагаем двухфазную модель, в которой ароматика представлена цепочками контактирующих друг с другом шаров, а алифатика заполняет пространство между шарами. Цель состоит в вычислении сопротивления стержня из такого материала и влиянии давления на электросопротивление угля.

Основная часть. Рассмотрим «угольный цилиндр» длиной 1 и площадью поперечного сечения S . Угольное вещество представляет собой совокупность соприкасающихся сфер, структура которых графитоподобна (ароматика). Удельное сопротивление материала сфер обозначим $\rho_{\text{аг}}$. Между сферами находится более «рыхлый» материал – алифатика с удельным сопротивлением $\rho_{\text{ал}}$. Удельное сопротивление алифатики на порядки больше удельного сопротивления ароматики, $\rho_{\text{ал}} \gg \rho_{\text{аг}}$. Под давлением P сферы сближаются, образуются « пятна контакта » на каждой сфере радиусом r . На длине 1 стержня укладывается много сфер, поскольку радиус сферы R предполагается много меньшим 1, $R \ll 1$. Вдоль стержня располагается

$\frac{S}{\pi R^2}$ таких цепочек. Коэффициент заполнения угольного каркаса ароматикой обозначим через f , алифатикой $(1-f)$. Задача состоит в вычислении электросопротивления R стержня (рис. 1).

Сначала вычислим сопротивление одной цепочки. Сопротивление каждой сферы, как известно, равно $\frac{\rho_{\text{аг}}}{R}$. Сопротивление контакта, как показано в [2], равно

$\rho_{\text{аг}} \frac{0,3\lambda}{\pi r^2}$, где λ – длина свободного пробега электрона в графитоподобной структуре.

Рассеяние электронов на контакте предполагается диффузным.

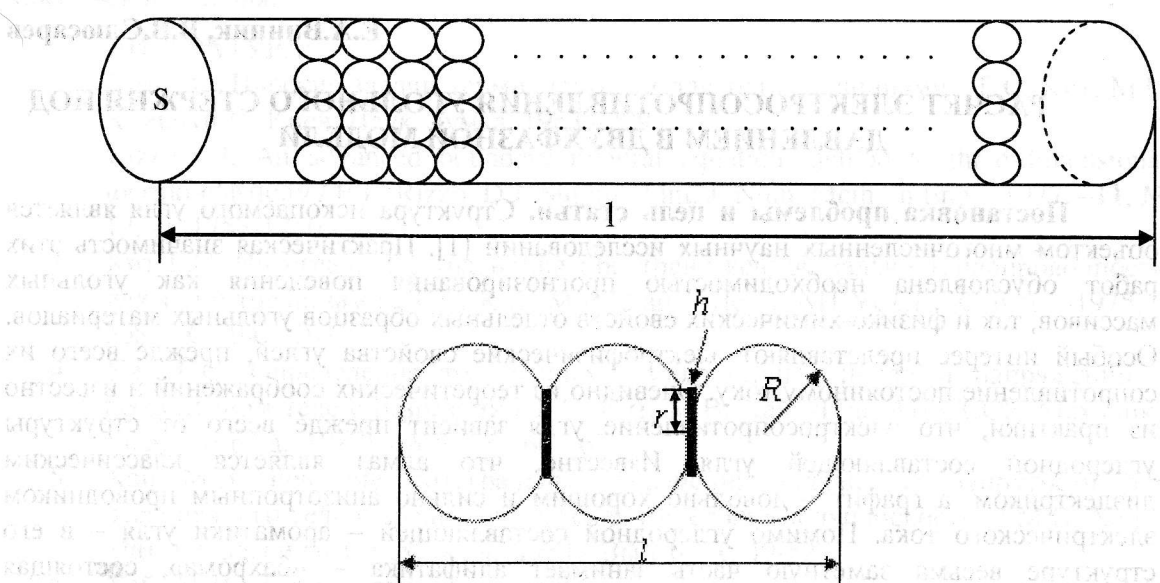


Рис. 1. Модель строения угольного стержня

Составлено на основе материалов, опубликованных в журнале «Химия и технологии нефти и газа»

Количество сфер в цепочке равно $\frac{1}{2R}$. Следовательно, полное сопротивление цепочки

$$\mathfrak{R}_{ch} = \frac{1}{2R} \left[\rho_{ar} \frac{1}{R} + \rho_{ar} \frac{0,3\lambda}{\pi^2} \right] = \rho_{ar} \frac{1}{2R^2} \left[1 + \frac{0,3\lambda R}{\pi^2} \right]$$

Сопротивление всех цепочек (так как они включены параллельно) в $\frac{\pi R^2}{S}$ раз

меньше сопротивления одной цепочки. Следовательно

$$\mathfrak{R}_{ch}^{tot} = \rho_{ar} \frac{\pi l}{2S} \left[1 + \frac{0,3\lambda R}{\pi^2} \right] \approx \rho_{ar} \frac{1}{S} \left[1 + \frac{0,3\lambda R}{\pi^2} \right]$$

Теперь учтем, что в цепь включены параллельно ароматика и алифатика. Проводимость ароматики пропорциональна f , а алифатики $-(1-f)$ (f – коэффициент заполнения угля ароматикой). Ток проходит по цепочке: через сферу и площадку контакта и сопротивление зависит от площади контакта. Считаем количество элементов в зависимости от длины цилиндра. Так как цепочки включены параллельно, то складываем проводимости:

$$\frac{1}{\mathfrak{R}_{tot}} = \frac{1}{\mathfrak{R}_{ch}^{tot}} + \frac{1-f}{\mathfrak{R}_{al}} = \frac{f}{\rho_{ar} \frac{1}{S} \left[1 + \frac{0,3\lambda R}{\pi^2} \right]} + \frac{1-f}{\rho_{al} \frac{1}{S}}$$

После преобразований получаем формулу для сопротивления угольного стержня:

$$\mathfrak{R}_{tot} = \rho_{ar} \rho_{al} \frac{1}{S} \frac{1 + \frac{0,3\lambda R}{\pi^2}}{f \cdot \rho_{al} + (1-f) \rho_{ar} \left(1 + \frac{0,3\lambda R}{\pi^2} \right)}$$

Если контакт графитоподобных сфер отсутствует ($r \rightarrow 0$), то

$$\lim_{r \rightarrow 0} R_{\text{tot}} = \frac{\rho_{\text{al}}}{1-f} \frac{1}{S}$$

При низких давлениях сферы практически не касаются, и поэтому сопротивление определяется в основном алифатикой (это сопротивление очень велико).

При высоких давлениях ток в основном течет через площадки контакта. Получаем известную формулу

$$R_{\text{tot}} \approx \rho_{\text{ar}} \rho_{\text{al}} \frac{1}{S} \frac{1}{f \cdot \rho_{\text{al}} + (1-f) \rho_{\text{ar}}},$$

т.е. сопротивление станет сравнительно с предыдущим малым, обусловленным ароматической частью.

Сопротивление угольного стержня зависит от соотношения количества ароматики и алифатики. Для угля практическую роль играет зависимость электросопротивления от внешнего давления. Для качественного анализа этой зависимости положим $f = \frac{1}{2}$. Тогда

$$R_{\text{tot}} = \rho_{\text{ar}} \frac{1 + 0,3 \frac{\lambda R}{\pi^2}}{S \left(1 + \frac{\rho_{\text{ar}}}{\rho_{\text{al}}} \left(1 + 0,3 \frac{\lambda R}{\pi^2} \right) \right)} \quad (1)$$

Пусть уголь находится под давлением P . Сила F , сближающая сферы равна $\pi R^2 P$. Как видно из (1), основное влияние давления реализуется через площадь «пятна» контакта. Соответствующую зависимость находим из решения задачи Герца [3].

$$D \equiv \frac{3(1-\sigma^2)}{2E},$$

$$r = F^{\frac{1}{3}} \left(D \frac{R}{2} \right)^{\frac{1}{3}},$$

где E – модуль Юнга, σ – коэффициент Пуассона.

Для оценок положим $\frac{D}{2} \approx \frac{1}{E}$. Тогда $r^2 = F^{\frac{2}{3}} \left(\frac{R}{E} \right)^{\frac{2}{3}} = \pi^{\frac{2}{3}} \frac{P^{\frac{2}{3}}}{E^{\frac{2}{3}}} R^2 = \left(\frac{\pi P}{E} \right)^{\frac{2}{3}} R^2$.

Итоговая формула имеет вид:

$$R_{\text{tot}} = 2\rho_{\text{ar}} \frac{1 + 0,3 \frac{\lambda E^{\frac{2}{3}}}{\pi^{\frac{5}{3}} P^{\frac{2}{3}} R}}{S \left(1 + \frac{\rho_{\text{ar}}}{\rho_{\text{al}}} \left(1 + 0,3 \frac{\lambda E^{\frac{2}{3}}}{\pi^{\frac{5}{3}} P^{\frac{2}{3}} R} \right) \right)} \quad (2)$$

Таким образом, наша модель мезоскопической структуры угля определила возможность получить теоретическую зависимость электросопротивления угля от давления. Из (2) видно, что с ростом давления электросопротивление убывает в основном по закону $P^{-\frac{2}{3}}$, а при давлениях несколько ГПа выходит на постоянное значение, определяемое сопротивлением ароматики.

Нами были проведены измерения электросопротивления ископаемого угля различных шахт под давлением от атмосферного до 2 ГПа. Результаты сопоставления теории и эксперимента приведены на рисунке 2. Они показывают оценочное соответствие результатов расчета в модели и эксперимента.

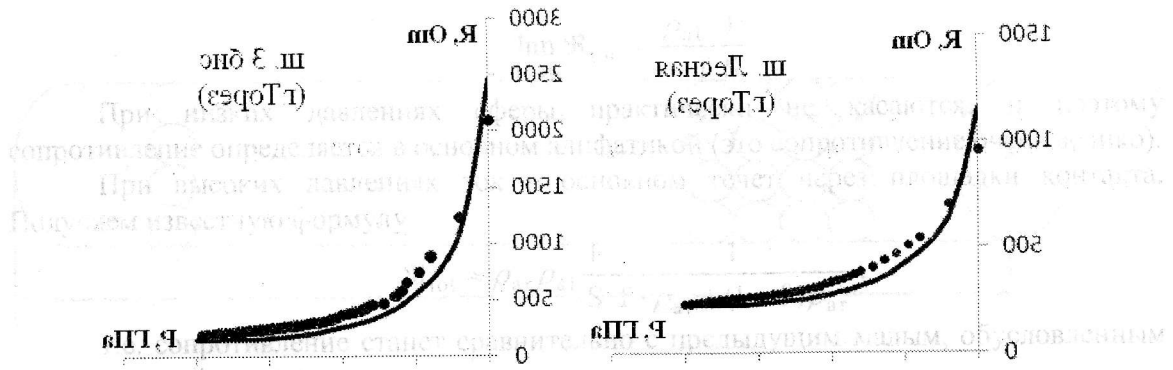


Рис. 2. Зависимость сопротивления от частоты в предельном линейном обобщенном

временном масштабе.

Сопротивление уменьшается с ростом частоты в пределах изучаемого диапазона из-за изменения коэффициента пропорциональности (коэффициента пропорциональности сопротивления и частоты).

Зависимость сопротивления от частоты в предельном линейном обобщенном

временном масштабе.

Сопротивление уменьшается с ростом частоты в пределах изучаемого диапазона из-за изменения коэффициента пропорциональности сопротивления и частоты.

Зависимость сопротивления от частоты в предельном линейном обобщенном

временном масштабе.

Сопротивление уменьшается с ростом частоты в пределах изучаемого диапазона из-за изменения коэффициента пропорциональности сопротивления и частоты.

Зависимость сопротивления от частоты в предельном линейном обобщенном

временном масштабе.

Сопротивление уменьшается с ростом частоты в пределах изучаемого диапазона из-за изменения коэффициента пропорциональности сопротивления и частоты.

Зависимость сопротивления от частоты в предельном линейном обобщенном

временном масштабе.

Сопротивление уменьшается с ростом частоты в пределах изучаемого диапазона из-за изменения коэффициента пропорциональности сопротивления и частоты.

Зависимость сопротивления от частоты в предельном линейном обобщенном

временном масштабе.

Сопротивление уменьшается с ростом частоты в пределах изучаемого диапазона из-за изменения коэффициента пропорциональности сопротивления и частоты.

Зависимость сопротивления от частоты в предельном линейном обобщенном

временном масштабе.

Сопротивление уменьшается с ростом частоты в пределах изучаемого диапазона из-за изменения коэффициента пропорциональности сопротивления и частоты.

Зависимость сопротивления от частоты в предельном линейном обобщенном

временном масштабе.

Сопротивление уменьшается с ростом частоты в пределах изучаемого диапазона из-за изменения коэффициента пропорциональности сопротивления и частоты.

Зависимость сопротивления от частоты в предельном линейном обобщенном

временном масштабе.

Сопротивление уменьшается с ростом частоты в пределах изучаемого диапазона из-за изменения коэффициента пропорциональности сопротивления и частоты.

Изменились измерения электросопротивления покоящегося узла различных частот от 0 ГГц до 2 ГГц. Результаты сопоставлены теории и эксперимента приведены на рисунке 3. Они показывают одинаковое соответствие результатов расчета и модели эксперимента.